

**ПОДОБИЕ ПРОДОЛЬНЫХ И ПОПЕРЕЧНЫХ КРИТИЧЕСКИХ ТОКОВ
В СВЕРХПРОВОДЯЩИХ СПЛАВАХ С ЖЕСТКО ЗАКРЕПЛЕННОЙ
ВИХРЕВОЙ РЕШЕТКОЙ**

**Ю.Ф.Бычков, В.Г.Верещагин, М.Т.Зуев, В.Р.Карасик,
Г.Б.Курганов, В.А.Мальцев**

Ниже сообщается об обнаруженном нами подобии продольных ($j_{||H}$) и поперечных ($j_{\perp H}$) критических токов в сверхпроводящих сплавах, содержащих мелкодисперсные несверхпроводящие включения, способные жестко закреплять вихревую решетку.

Известно [1], что в холоднодеформированных однофазных сплавах продольные критические токи резко отличаются от поперечных как по характеру зависимости от магнитного поля, так и по порядку величины. Этот факт объясняют действием Лорентцовой силы, максимальной при $H \parallel j$ и стремящейся к нулю при $H \perp j$ [2]. Иного результата следует ждать в сплавах с жестко закрепленной вихревой решеткой [3], где сила Лоренца не работает и возможная анизотропия $j_c H$ должна быть связана только с размагничивающим фактором. Чтобы проверить это предположение, мы исследовали критические токи в сплавах ниobia с титаном и цирконием, содержащих изотропно распределенные включения ω - или α -фазы [3]. Измерения $j_{c\parallel}$ и $j_{c\perp}$ проводились на одних и тех же образцах. Состав и характеристики образцов приведены в таблице.

№ образца	Состав в атомных %	Диаметр, мм	Режим термообработки
4в	Ti - 22 Nb	0,23	800° С - 1 час, закалка, отпуск 390° С - 1 час
8	Ti - 22 Nb	0,11	Холодная деформация, сопровождающаяся распадом твердого раствора с выделением α -фазы
12	Zr - 20Nb	0,22	800° С - 1 час, закалка, отпуск 350° С - 3 час
2п	Ti - 36Nb	0,17	Холодная деформация на 99,975% без распада твердого раствора

Методика измерений поперечных токов не отличалась от описанной в [3]. При исследовании продольных токов необходимо было изготовить контакты, надежно работающие в сильном магнитном поле при плотнос-

тях тока в образцах, достигающих 10^6 а/см^2 . Задачу удалось решить с помощью ультразвукового лужения [4] индием. Проверка показала, что выбранный режим лужения не меняет сверхпроводящих свойств наших образцов. Исследуемый отрезок проволоки, залуженный с концов индием, помещался в медный держатель, конструкция которого исключала возможность перемещения образца под действием пондеромоторных сил. При монтаже особое внимание уделялось достижению соосности образца и соленоида, создающего магнитное поле. Образец снабжался латунным шунтом, имеющим при $4,2^\circ\text{K}$ сопротивление $2 \cdot 10^{-6} \text{ ом}$. Сопротивление контактов при диаметре сверхпроводящей проволоки $0,11 \text{ мм}$, токе 100 а и напряженности внешнего магнитного поля 55 кэ не превышало $2 \cdot 10^{-8} \text{ ом}$. Переход из сверхпроводящего состояния в нормальное фиксировался по скачку напряжения на шунте.

Полученные результаты приведены на рис. 1-3. Из сравнения рис. 1 a и 1 b видно существенное различие в поведении критических токов у образцов, содержащих несверхпроводящие включения (рис. 1, a), и у однофазных холоднодеформированных образцов (рис. 1, b). При увеличении магнитного поля продольный критический ток однофазного образца (рис. 1, b) растет, формируя характерный купол, в полном согласии с [1], а поперечный ток падает и выходит на плато. Отношение i_{cH}/i_{cL} достигает 80. У двухфазного образца (рис. 1, a) продольный и поперечный токи одинаковым образом меняются с магнитным полем, а максимальная величина i_{cH}/i_{cL} не превышает 5. Более наглядно подобие критических токов в образцах с несверхпроводящими включениями показано на рис. 1, c и 1, z , из которых следует, что если графики поперечных и продольных токов совместить в одной точке, то они совпадут во всех других точках. Это означает, что зависимость i_{cL}/i_{cH} от напряженности магнитного поля в сплавах с жестко закрепленной вихревой решеткой описывается одними и теми же уравнениями. На рис. 1, c и 1, z приведены два типа зависимости с пиком и без пика на кривой $i_c(H)$. Пик соответствует "пробою" сверхпроводимости включений, и наблюдается, когда включения близки по размерам к длине когерентности. Если включения сильно обогащены титаном или цирконием, а их средний линейный размер больше размера сверхпроводящей пары, то поле пробоя обращается в нуль и пик исчезает (рис. 1, z).

Сравнение результатов, для $i_{cH}(T)$, приведенных на рис. 2, с соответствующими данными для $i_{cL}(T)$ (рис. 1, c [5]) показывает, что подобие i_{cH} и i_{cL} проявляется не только в их зависимости от напряженности магнитного поля, но и в зависимости от температуры.

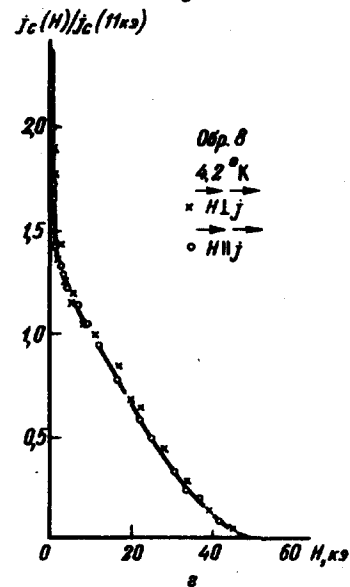
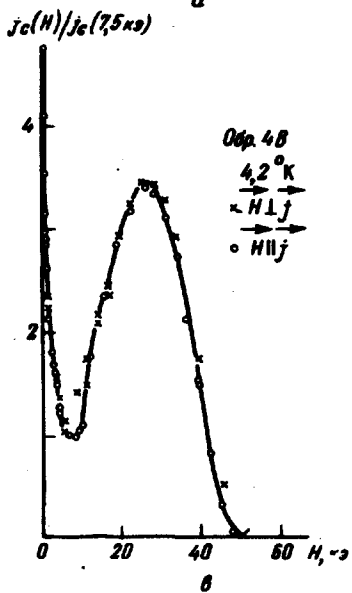
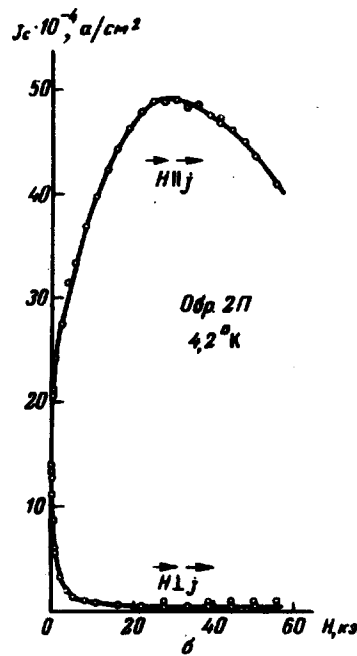
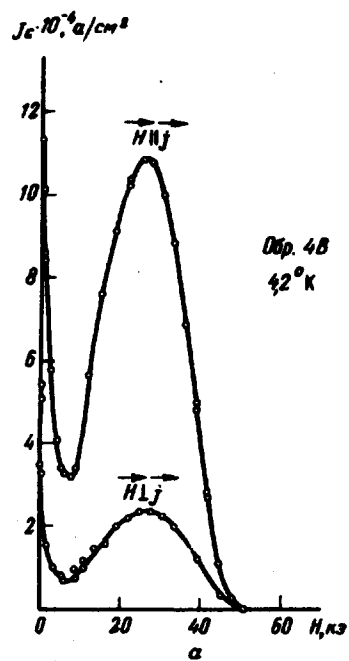


Рис.1. Зависимость плотности критического тока от внешнего магнитного поля: а, б – плотность тока в абсолютных единицах; в, г – плотность тока в относительных единицах. Данные об образцах приведены в таблице

Что касается различия в абсолютных значениях i_{c1} и i_{c2} (рис. 1, а), то его можно объяснить следующим образом. В предельном случае слабых магнитных полей ($H < H_{c1}$) напряженность магнитного поля на поверхности цилиндрического образца при $H \parallel j$ может превышать вдвое значение невозмущенного внешнего поля. В сильных магнитных полях

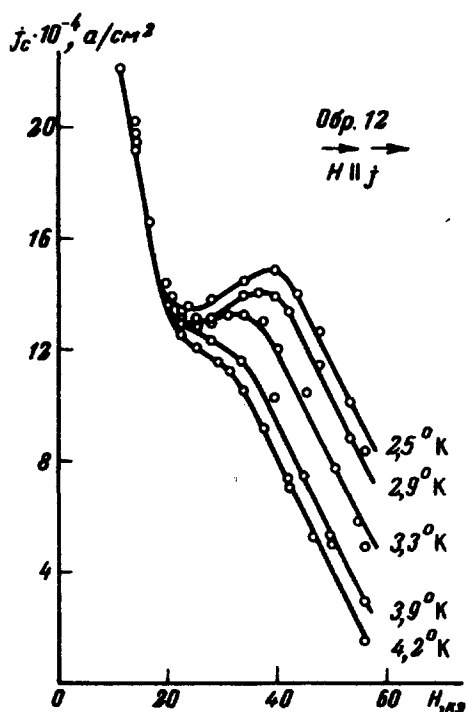


Рис.2. Зависимость плотности продольного критического тока образца 12 от внешнего магнитного поля при различных температурах

($H \sim H_{c2}$) поле на поверхности равно внешнему. Таким образом, при движении от H_{c1} к H_{c2} максимальное поле на поверхности меняется от $2H$ до H . С другой стороны, при $H \parallel j$ $H_{\text{поверхн}} \equiv H$. Если учесть также, что j_c резко падает с ростом H и что несверхпроводящие выделения определенным образом ориентированы относительно оси проволоки [6], то различие в абсолютных значениях продольных и поперечных токов становится понятным.

В заключение укажем на крутой и узкий пик на кривой $i_{c1}(H)$, обнаруженный в слабых магнитных полях на всех образцах с несверхпроводящими включениями. Этот пик, представленный на рис. 3 связан, по-видимому, с заполнением поперечного сечения образца током [7]. Локальная плотность тока падает с магнитным полем, а площадь, заполняемая током, вначале растет. Совокупность двух противоположных тенденций и приводит к появлению максимума.

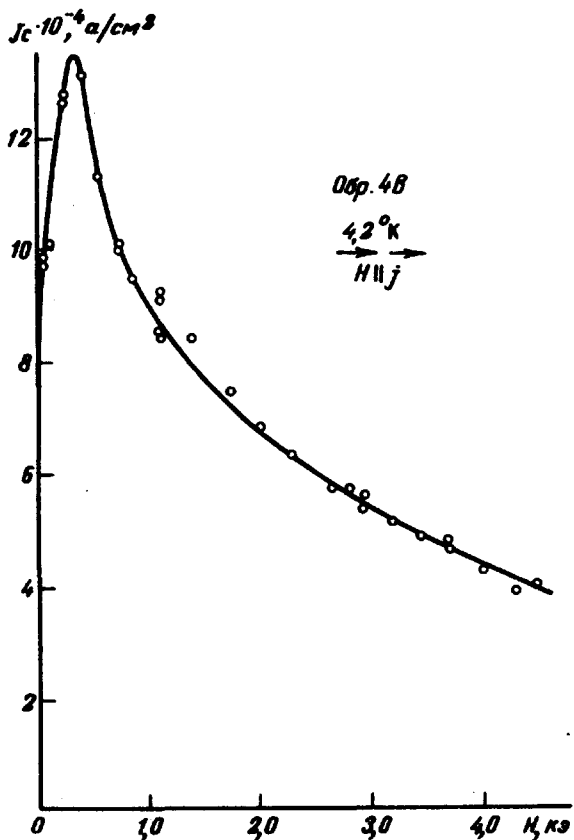


Рис.3. Пик на кривой $i_{\text{сн}}(H)$, наблюдаемый в слабых магнитных полях
Образец 4в

Авторы благодарны Б.М. Вулу за внимание к работе и ценные советы, Г.Т. Никитиной и Д.В. Пронкину за помощь при проведении экспериментов и обработке результатов измерений.

Физический институт
им. П.Н. Лебедева
Академии наук СССР

Поступила в редакцию
5 мая 1969г.

Литература

- [1] S.T. Sekula, R.W. Boom, C.I. Bergeron. Appl. Phys. Lett., 2, 102, 1962.
- [2] C.I. Bergeron. Appl. Phys. Lett., 3, 63, 1963.
- [3] Ю.Ф. Бычков, В.Г. Верещагин, В.Р. Карасик, Г.Б. Курганов, В.А. Мальцев. ЖЭТФ, 56, 505, 1969.
- [4] P.R. Aron, H.C. Hitchcock. J. Appl. Phys., 33, 2242, 1962.

- [5] Ю.Ф.Бычков, В.Г.Верещагин, М.Т.Жуев, В.Р.Карасик, Г.Б.Курганов,
В.А.Мальцев. Письма в ЖТФ, 9 451, 1969.
- [6] В.А.Hatt, J.A.Roberts. Acta Metall., 8, 575, 1960.
- [7] G.W.Cullen, G.D.Cody, I.P.McEvoy. Phys. Rev., 132, 577, 1963.
-